



AB 1571



SOLDI Sp. z o.o.
ul. Bieżanowska 22
30-812 Kraków

Sprawozdanie nr 204/2026/OS/04

Sprawozdanie z badania natężenia pól elektromagnetycznych
wykonanych w środowisku

Miejsce wykonania badania:

(dane uzyskane od klienta)

OPO1028_F

45-641 Opole, **Oświęcimska 98F**,
pow. Opole, woj. opolskie

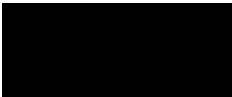
Data zakończenia badania:

24.04.2026 r.

Klient:

P4 Sp. z o.o.
ul. Wynalazek 1
02-677 Warszawa

Autoryzacja / wydanie sprawozdania:



Kierownik ds. Technicznych

Bez pisemnej zgody laboratorium, sprawozdanie nie może być powielane inaczej, jak tylko w całości.

1. Podstawa prawna

Badania wykonano zgodnie z obecnie występującymi aktami prawnymi:

- Ustawa z dnia 27 kwietnia 2001 r. Prawo ochrony środowiska (Dz. U. 2025 poz. 647 z zm.)
- Rozporządzenie Ministra Zdrowia z dnia 17 grudnia 2019 r. w sprawie dopuszczalnych poziomów pól elektromagnetycznych w środowisku (Dz. U. 2019 poz. 2448),
- Rozporządzenie Ministra Klimatu z dnia 17 lutego 2020 r. w sprawie sposobów sprawdzania dotrzymania dopuszczalnych poziomów pól elektromagnetycznych w środowisku (Dz. U. 2022 poz. 2630).

2. Aparatura pomiarowa

Podczas badań użyto następującej aparatury pomiarowej:

Tabela nr 1

Miernik szerokopasmowy	Sondy	Zakres częstotliwościowy	Zakres pomiarowy*	Świadectwo wzorcowania
Narda NBM-520 Nr B-0475	EF-0692 nr A-0092	600 – 6 000 MHz	0,5 – 800 V/m	LWiMP/W/146/26; data wydania: 07.04.2026
Narda NBM-550 Nr E-0201	EF-6092 nr A-0062	80 – 90 000 MHz	0,8 – 300 V/m	LWiMP/W/097/25; data wydania: 05.03.2025

*Do wyznaczenia poprawnej wartości natężenia pola elektromagnetycznego uwzględniono współczynniki korekcyjne z właściwego świadectwa wzorcowania.

Aparaturę pomiarową charakteryzują następujące wartości niepewności pomiaru obliczone i przedstawiona zgodnie z dokumentem PN-EN 50413. Podane wartości niepewności stanowią niepewności rozszerzone dla poziomu ufności 95% i współczynnika rozszerzenia $k=2$.

Procedury wdrożone w laboratorium pozwalają zapewnić odporność elektromagnetyczną miernika.

Niepewność pomiarowa wyznaczona dla zainstalowanych i skonfigurowanych obiektów – źródeł pól, jak w dniu pomiaru wynosi 30%.

Dodatkowa aparatura pomiarowa:

- Kompas (busola) [UP/29/Sw]
- Cyfrowy miernik wilgotności względnej i temperatury powietrza TERMIKPLUS nr fab. 121121 [UP/42/Sw]
(Świadectwo wzorcowania: 0065/AH/22; data wydania: 21.01.2022)
- Taśma miernicza geodezyjna 50 m [UP/32/Sw]
(Świadectwo wzorcowania: U/21/51-512120028.2; data wydania: 10.03.2021)
- Odbiornik GPS HUAWEI P20 [UP/23/Sw]

3. Opis badania

Na podstawie zlecenia firmy P4 Sp. z o.o. badania przeprowadziło:
Laboratorium Badawcze Soldi sp. z o.o., ul. Leśna 1a/2, 47-400 Racibórz.

Badanie wykonano zgodnie z:

Załącznikiem do rozporządzenia Ministra Klimatu z dnia 17 lutego 2020 r. w sprawie sposobów sprawdzania dotrzymania dopuszczalnych poziomów pól elektromagnetycznych w środowisku (Dz. U. 2022 poz. 2630).

Badania promieniowania elektromagnetycznego, którego źródłem są urządzenia wyszczególnione w punkcie 4 sprawozdania przeprowadzono w pionach pomiarowych na kierunkach zbliżonych do azymutów badanej instalacji, w szczególności w tych miejscach, w których na podstawie uprzednio przeprowadzonych obliczeń, stwierdzono występowanie w danych zakresach częstotliwości pól-EM o poziomach zbliżonych do poziomów dopuszczalnych oraz do odległości, dla której stwierdzono w miejscach dostępnych dla ludności występowanie pól elektromagnetycznych o najwyższym poziomie, które pochodzą z badanej instalacji. Badania pól elektromagnetycznych przeprowadzono w pionach pomiarowych wzdłuż głównych kierunków pomiarowych, dodatkowych pionach oraz w miejscach dostępnych dla ludności w otoczeniu instalacji. W przyjętych pionach pomiarowych pomiary wykonano na wysokościach od 0,3 m do 2,0 m nad powierzchnią terenu albo nad innymi miejscami dostępnymi dla ludności. W pobliżu urządzeń, obiektów i elementów metalowych pomiary wykonano w odległości nie mniejszej niż 0,3 m od tych urządzeń, obiektów i elementów metalowych.

Przy sprawdzeniu dotrzymania dopuszczalnych poziomów pól elektromagnetycznych w środowisku nie uwzględnia się poprawek pomiarowych ze względu, na fakt iż pomiary wykonywane są przy użyciu miernika szerokopasmowego.

4. Informacje przekazane przez klienta

Tabela nr 2 – Opis obiektu, w otoczeniu którego wykonano badania oraz określenie terenu wokół stacji

Tabela nr 2a – Szczegółowe dane źródła pól dla anten mikrofalowych

Tabela nr 2b – Szczegółowe dane źródła pól dla anten sektorowych

Tabela nr 2

Opis obiektu, w otoczeniu którego wykonano pomiary	
Rodzaj konstrukcji wsporczej:	Stalowa wieża kratowa
Wysokość wieży/masztu/komina:	49,45 m n.p.t.
Rodzaj terenu wokół stacji bazowej:	Stacja bazowa zlokalizowana jest na terenie miejskim, w najbliższym otoczeniu stacji znajduje się zabudowa mieszkaniowa i usługowa.

Tabela nr 2a

Charakterystyka promieniowania				kierunkowa					
Rzeczywisty czas pracy [h/dobę]				24					
Rodzaj wytwarzanego pola				stacjonarne					
Linia radiowa				Antena					
Lp.	Typ nadajnika	Częstotliwość pracy [GHz]	Moc wyjściowa [dBm]	Typ / producent	Średnica anteny [m]	Azymut [°]	Wysokość zainstal. [m]	LON	LAT
1	OPTIX RTN/HUAWEI	80	18	0.6-80 (A80S06)	0,6	55	44,7	17°57'57.18"E	50°36'29.53"N
2	OPTIX RTN/HUAWEI	32	23	0.6-32 (VHLPX2-32)	0,6	162	44	17°57'57.18"E	50°36'29.53"N
3	OPTIX RTN/HUAWEI	80	19	0.6-80 (VHLP2-80)	0,6	342	44	17°57'57.18"E	50°36'29.53"N
4	OPTIX RTN/HUAWEI	23	25	0.3-23 (VHLP1-23)	0,3	342	44	17°57'57.18"E	50°36'29.53"N

Tabela nr 2b

Charakterystyka promieniowania				kierunkowa					
Rzeczywisty czas pracy [h/dobę]				Całodobowa 24h					
Warunki pracy				Znamionowe					
Rodzaj wytwarzanego pola				stacjonarne					
Lp.	Typ nadajnika	Antena Producent / Typ	Azymut [°]	Wysokość środka elektr. anteny [m n.p.t.]	Pasma [Mhz]	Kąt nachylenia [°]	EIRP dla anteny [W]	LON	LAT
1	RBS6xxx/2xxx/4xxx	Huawei ATR4518R6	20	38,4	700	0 - 10	21921	17°57'57.20"E	50°36'29.50"N
	RBS6xxx/2xxx/4xxx				800	0 - 10		17°57'57.20"E	50°36'29.50"N
	RBS6xxx/2xxx/4xxx				900	0 - 10		17°57'57.20"E	50°36'29.50"N
	RBS6xxx/2xxx/4xxx				1800	0 - 10		17°57'57.20"E	50°36'29.50"N
	RBS6xxx/2xxx/4xxx				2100	0 - 10		17°57'57.20"E	50°36'29.50"N
2	RBS6xxx/2xxx/4xxx	Huawei ATR4518R6	20	38,4	700	0 - 10	15503	17°57'57.20"E	50°36'29.50"N
	RBS6xxx/2xxx/4xxx				800	0 - 10		17°57'57.20"E	50°36'29.50"N
	RBS6xxx/2xxx/4xxx				900	0 - 10		17°57'57.20"E	50°36'29.50"N
	RBS6xxx/2xxx/4xxx				2600	0 - 10		17°57'57.20"E	50°36'29.50"N
3	RBS6xxx/2xxx/4xxx	Ericsson AIR 3258	20	39	3500	2 - 12	9733	17°57'57.20"E	50°36'29.50"N
4	RBS6xxx/2xxx/4xxx	Huawei ATR4518R6	140	47,4	700	0 - 10	15503	17°57'57.20"E	50°36'29.50"N
	RBS6xxx/2xxx/4xxx				800	0 - 10		17°57'57.20"E	50°36'29.50"N
	RBS6xxx/2xxx/4xxx				900	0 - 10		17°57'57.20"E	50°36'29.50"N
	RBS6xxx/2xxx/4xxx				2600	0 - 10		17°57'57.20"E	50°36'29.50"N
5	RBS6xxx/2xxx/4xxx	Huawei ATR4518R6	140	47,4	700	0 - 10	21921	17°57'57.20"E	50°36'29.50"N
	RBS6xxx/2xxx/4xxx				800	0 - 10		17°57'57.20"E	50°36'29.50"N
	RBS6xxx/2xxx/4xxx				900	0 - 10		17°57'57.20"E	50°36'29.50"N
	RBS6xxx/2xxx/4xxx				1800	0 - 10		17°57'57.20"E	50°36'29.50"N
	RBS6xxx/2xxx/4xxx				2100	0 - 10		17°57'57.20"E	50°36'29.50"N
6	RBS6xxx/2xxx/4xxx	Ericsson AIR 3258	140	48	3500	2 - 12	9733	17°57'57.20"E	50°36'29.50"N
7	RBS6xxx/2xxx/4xxx	Huawei ATR4518R6	240	47,4	700	0 - 10	15503	17°57'57.20"E	50°36'29.50"N
	RBS6xxx/2xxx/4xxx				800	0 - 10		17°57'57.20"E	50°36'29.50"N
	RBS6xxx/2xxx/4xxx				900	0 - 10		17°57'57.20"E	50°36'29.50"N
	RBS6xxx/2xxx/4xxx				2600	0 - 10		17°57'57.20"E	50°36'29.50"N
8	RBS6xxx/2xxx/4xxx	Huawei ATR4518R6	240	47,4	700	0 - 10	21921	17°57'57.20"E	50°36'29.50"N
	RBS6xxx/2xxx/4xxx				800	0 - 10		17°57'57.20"E	50°36'29.50"N
	RBS6xxx/2xxx/4xxx				900	0 - 10		17°57'57.20"E	50°36'29.50"N
	RBS6xxx/2xxx/4xxx				1800	0 - 10		17°57'57.20"E	50°36'29.50"N
	RBS6xxx/2xxx/4xxx				2100	0 - 10		17°57'57.20"E	50°36'29.50"N
9	RBS6xxx/2xxx/4xxx	Ericsson AIR 3258	240	48	3500	2 - 12	9733	17°57'57.20"E	50°36'29.50"N

W załączonej tabeli podano maksymalne parametry pracy tej instalacji deklarowane przez prowadzącego instalację. Podczas pomiarów urządzenia użytkownika pracowały przy aktualnie występującym obciążeniu. Anteny o sterowanych wiązkach zostały ustawione w sposób umożliwiający spełnienie wymagań pkt 13 ppkt 2 RMK.

Jako dopuszczalne poziomy gęstości pola elektromagnetycznego przyjmuje się wartość 3 W/m², co odpowiada natężeniu składowej elektrycznej pola elektromagnetycznego o wartości 34 V/m – tj. minimalnej wartości dopuszczalnej dla zakresu częstotliwości od 600 MHz do 300 GHz, dzięki czemu zostaje uwzględniona obecność innych instalacji emitujących pole – EM w sąsiedztwie.

5. Wyniki badań i szkic sytuacyjny

Tabela nr 3

Data wykonania pomiarów	Godzina		Opady	Temperatura [°C]		Wilgotność [%]	
	Rozpoczęcia pomiarów	Zakończenia pomiarów		Minimalna	Maksymalna	Minimalna	Maksymalna
17.04.2026	09:15	12:30	Brak	13,3	14,8	65	68

Temperatura i wilgotność względna nie wyższa niż dopuszczalna specyfikacja miernika.

Tabela nr 4

Nr pionu / punktu	Lokalizacja pionu / punktu pomiarowego			Wysokość pomiaru [m]	Wartość zmierzona [V/m]	Wynik badania pola-E ¹⁾ [V/m]	Wskaźnik poziomu emisji WM _E	Wartość wyznaczona pola-H [A/m]	Wskaźnik poziomu emisji WM _H
	LAT	LON	Opis						
1	2	3	4	5	6	7	8	9	10
1	50,60825	17,966	PKP; na az. 5° od anteny sektorowej az. 20°	2,0	1,4	1,8	0,05	0,005	0,05
2	50,60937	17,96617	PKP; na az. 5° od anteny sektorowej az. 20°	2,0	0,9	1,2	0,03	0,003	0,03
3	50,60969	17,96622	PKP; na az. 5° od anteny sektorowej az. 20°	2,0	0,8	1,0	0,03	0,003	0,03
4	50,60942	17,96673	GKP; w odległości 149m od anteny sektorowej na az. 20°	2,0	1,0	1,3	0,04	0,003	0,04
5	50,60963	17,96687	GKP; w odległości 175m od anteny sektorowej na az. 20°	2,0	0,8	1,0	0,03	0,003	0,03
6	50,61064	17,96745	GKP; w odległości 295m od anteny sektorowej na az. 20°	2,0	0,5	0,7	0,02	0,002	0,02
7	50,60954	17,96754	PKP; na az. 35° od anteny sektorowej az. 20°	2,0	0,7	0,9	0,03	0,002	0,03
8	50,60922	17,96831	PKP; na az. 20° od anteny Radiolinii az. 55°	2,0	0,6	0,8	0,02	0,002	0,02
9	50,60890	17,96850	PKP; na az. 65° od anteny sektorowej az. 20°	2,0	0,7	0,9	0,03	0,002	0,03
10	50,60795	17,96907	PKP; na az. 95° od anteny sektorowej az. 140°	2,0	0,7	0,9	0,03	0,002	0,03
11	50,60806	17,96609	GKP; w odległości 13m od anteny sektorowej na az. 140°	2,0	1,4	1,8	0,05	0,005	0,05
12	50,60615	17,96864	GKP; w odległości 159m od anteny sektorowej na az. 140°	2,0	0,9	1,2	0,03	0,003	0,03
13	50,60564	17,96931	GKP; w odległości 364m od anteny sektorowej na az. 140°	2,0	0,5	0,7	0,02	0,002	0,02
14	50,60789	17,96614	GKP; w odległości 33m od anteny radiolinii na az. 162°	2,0	1,2	1,6	0,05	0,004	0,05
15	50,60758	17,96631	GKP; w odległości 67m od anteny radiolinii na az. 162°	2,0	1,3	1,7	0,05	0,004	0,05
16	50,6073	17,96645	GKP; w odległości 173m od anteny radiolinii na az. 162°	2,0	0,8	1,0	0,03	0,003	0,03
17	50,60669	17,96675	PKP; na az. 140° od anteny Radiolinii az. 162°	2,0	0,7	0,9	0,03	0,002	0,03
18	50,60789	17,96597	PKP; na az. 185° od anteny sektorowej az. 140°	2,0	1,4	1,8	0,05	0,005	0,05

^{*)} Za wynik badania przyjmuje się wartość wyznaczoną jako maksymalny chwilowy wynik pomiarów powiększony o rozszerzoną niepewność pomiaru U dla współczynnika rozszerzenia k=2.

Objaśnienia:

GKP – Główny Kierunek Pomiarowy

PKP – Pomocniczy Kierunek Pomiarowy

Tabela nr 4 cd.

Nr pionu / punktu	Lokalizacja pionu / punktu pomiarowego			Wysokość pomiaru [m]	Wartość zmierzona [V/m]	Wynik badania pola-E ^{*)} [V/m]	Wskaźnik poziomu emisji WM _E	Wartość wyznaczona pola-H [A/m]	Wskaźnik poziomu emisji WM _H
	LAT	LON	Opis						
1	2	3	4	5	6	7	8	9	10
19	50.60778	17.96594	PKP; na az. 185° od anteny sektorowej az. 140°	2,0	1,3	1,7	0,05	0,004	0,05
20	50.60749	17.96588	PKP; na az. 185° od anteny sektorowej az. 140°	2,0	1,0	1,3	0,04	0,003	0,04
21	50.60655	17.96581	PKP; na az. 185° od anteny sektorowej az. 140°	2,0	0,7	0,9	0,03	0,002	0,03
22	50.60789	17.96589	PKP; na az. 195° od anteny sektorowej az. 240°	2,0	1,5	2,0	0,06	0,005	0,06
23	50.60778	17.96583	PKP; na az. 195° od anteny sektorowej az. 240°	2,0	1,2	1,6	0,05	0,004	0,05
24	50.60709	17.96553	PKP; na az. 195° od anteny sektorowej az. 240°	2,0	0,9	1,2	0,03	0,003	0,03
25	50.60669	17.96539	PKP; na az. 195° od anteny sektorowej az. 240°	2,0	0,7	0,9	0,03	0,002	0,03
26	50.60791	17.96578	PKP; na az. 210° od anteny sektorowej az. 240°	2,0	1,4	1,8	0,05	0,005	0,05
27	50.60787	17.96573	PKP; na az. 210° od anteny sektorowej az. 240°	2,0	1,3	1,7	0,05	0,004	0,05
28	50.60733	17.96525	PKP; na az. 210° od anteny sektorowej az. 240°	2,0	1,1	1,4	0,04	0,004	0,04
29	50.60683	17.96481	PKP; na az. 210° od anteny sektorowej az. 240°	2,0	0,8	1,0	0,03	0,003	0,03
30	50.60797	17.96569	PKP; na az. 225° od anteny sektorowej az. 240°	2,0	1,4	1,8	0,05	0,005	0,05
31	50.60765	17.96522	PKP; na az. 225° od anteny sektorowej az. 240°	2,0	1,3	1,7	0,05	0,004	0,05
32	50.60747	17.96494	PKP; na az. 225° od anteny sektorowej az. 240°	2,0	1,1	1,4	0,04	0,004	0,04
33	50.60708	17.96431	PKP; na az. 225° od anteny sektorowej az. 240°	2,0	0,7	0,9	0,03	0,002	0,03
34	50.60802	17.96564	GKP; w odległości 30m od anteny sektorowej na az. 240°	2,0	1,4	1,8	0,05	0,005	0,05
35	50.60782	17.96512	GKP; w odległości 35m od anteny sektorowej na az. 240°	2,0	1,3	1,7	0,05	0,004	0,05
36	50.60769	17.96469	GKP; w odległości 106m od anteny sektorowej na az. 240°	2,0	1,2	1,6	0,05	0,004	0,05
37	50.60739	17.96392	GKP; w odległości 159m od anteny sektorowej na az. 240°	2,0	1,0	1,3	0,04	0,003	0,04
38	50.60653	17.96153	GKP; w odległości 364m od anteny sektorowej na az. 240°	2,0	0,6	0,8	0,02	0,002	0,02
39	50.60808	17.96558	PKP; na az. 255° od anteny sektorowej az. 240°	2,0	1,4	1,8	0,05	0,005	0,05
40	50.60796	17.96504	PKP; na az. 255° od anteny sektorowej az. 240°	2,0	1,3	1,7	0,05	0,004	0,05
41	50.60787	17.96443	PKP; na az. 255° od anteny sektorowej az. 240°	2,0	0,9	1,2	0,03	0,003	0,03
42	50.60778	17.96367	PKP; na az. 255° od anteny sektorowej az. 240°	2,0	1,6	2,1	0,06	0,006	0,06
43	50.60817	17.96558	PKP; na az. 270° od anteny sektorowej az. 240°	2,0	1,4	1,8	0,05	0,005	0,05
44	50.60815	17.96494	PKP; na az. 270° od anteny sektorowej az. 240°	2,0	1,3	1,7	0,05	0,004	0,05
45	50.60817	17.96459	PKP; na az. 270° od anteny sektorowej az. 240°	2,0	1,1	1,4	0,04	0,004	0,04

*) Za wynik badania przyjmuje się wartość wyznaczoną jako maksymalny chwilowy wynik pomiarów powiększony o rozszerzoną niepewność pomiaru U dla współczynnika rozszerzenia k=2.

Objaśnienia:

GKP – Główny Kierunek Pomiarowy

PKP – Pomocniczy Kierunek Pomiarowy

Tabela nr 4 cd.

Nr pionu / punktu	Lokalizacja pionu / punktu pomiarowego			Wysokość pomiaru	Wartość zmierzona	Wynik badania pola-E ^{*)}	Wskaźnik poziomu emisji WM _E	Wartość wyznaczona pola-H	Wskaźnik poziomu emisji WM _H
	LAT	LON	Opis						
1	2	3	4	5	6	7	8	9	10
46	50.60817	17.96358	PKP; na az. 270° od anteny sektorowej az. 240°	2,0	1,4	1,8	0,05	0,005	0,05
47	50.60822	17.96558	PKP; na az. 285° od anteny sektorowej az. 240°	2,0	1,5	2,0	0,06	0,005	0,06
48	50.60836	17.96484	PKP; na az. 285° od anteny sektorowej az. 240°	2,0	1,3	1,7	0,05	0,004	0,05
49	50.60841	17.96456	PKP; na az. 285° od anteny sektorowej az. 240°	2,0	1,2	1,6	0,05	0,004	0,05
50	50.60855	17.96367	PKP; na az. 285° od anteny sektorowej az. 240°	2,0	0,6	0,8	0,02	0,002	0,02
51	50.60844	17.96586	GKP; w odległości 33m od anteny radiolinii na az. 342°	2,0	1,6	2,1	0,06	0,006	0,06
52	50.60872	17.96572	GKP; w odległości 67m od anteny radiolinii na az. 342°	2,0	1,5	2,0	0,06	0,005	0,06
53	50.60903	17.96556	GKP; w odległości 102m od anteny radiolinii na az. 342°	2,0	0,6	0,8	0,02	0,002	0,02
54	50.60961	17.96525	GKP; na az. 5° od anteny sektorowej az. 20°	2,0	0,7	0,9	0,03	0,002	0,03
A	-	-	DPP; wejście do budynku przy ul. Berylowej 8	2,0	1,8	2,3	0,07	0,006	0,07
B	-	-	DPP; wejście do budynku przy ul. Oświęcimskiej 100F	2,0	0,8	1,0	0,03	0,003	0,03
C	-	-	DPP; brama wjazdowa budynku przy ul. Berylowej 98H	2,0	1,2	1,6	0,05	0,004	0,05
D	-	-	DPP; światło okna budynku przy ul. Berylowej 98H (p.0)	2,0	1,1	1,4	0,04	0,004	0,04

*) Za wynik badania przyjmuje się wartość wyznaczoną jako maksymalny chwilowy wynik pomiarów powiększony o rozszerzoną niepewność pomiaru U dla współczynnika rozszerzenia k=2.

Objaśnienia:

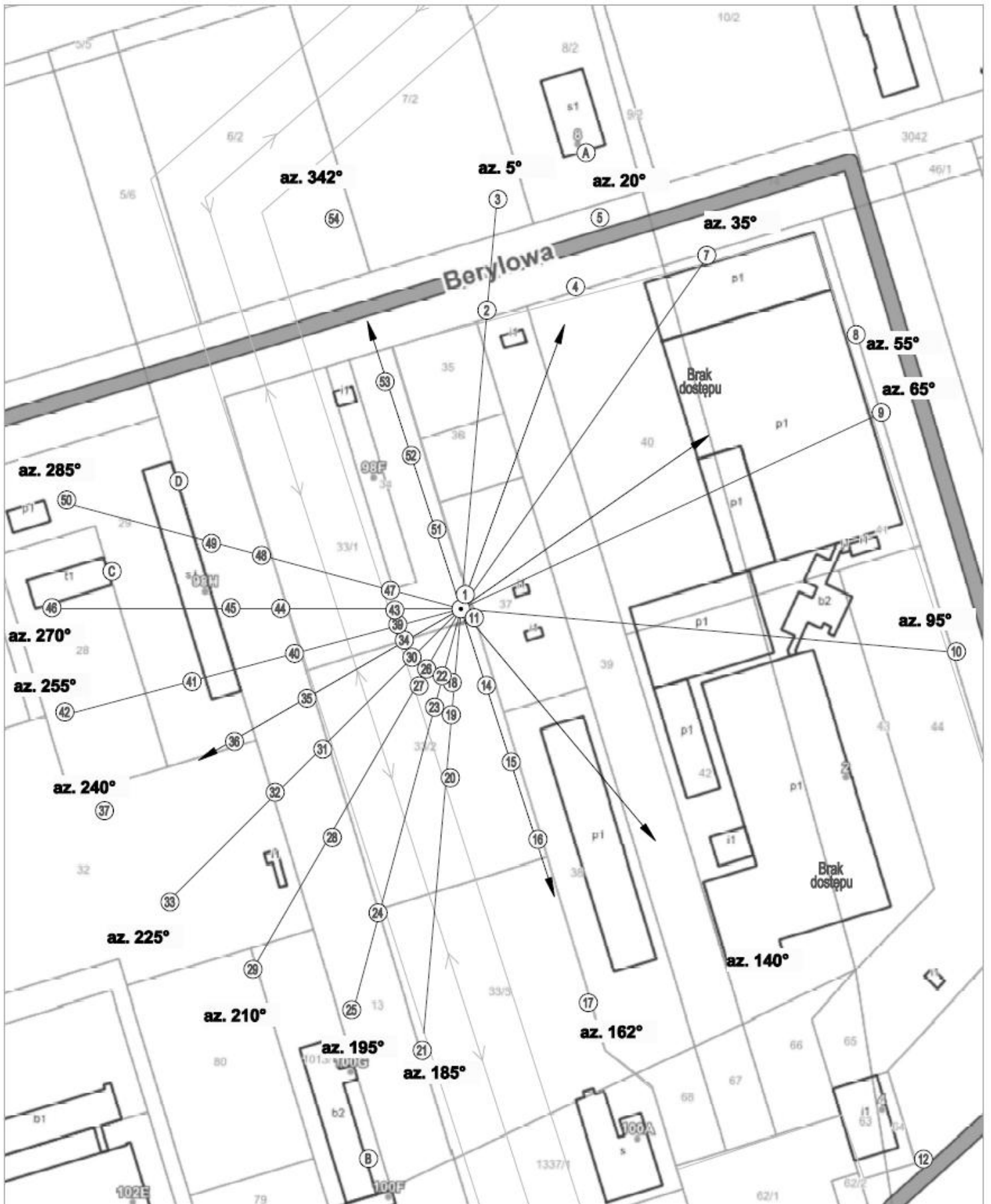
GKP – Główny Kierunek Pomiarowy
 PKP – Pomocniczy Kierunek Pomiarowy
 DPP – Dodatkowy Pion Pomiarowy

UWAGA: Brak możliwości wykonania pomiarów na terenie posesji przy ul. Kobałtowa 2 – odmowa dysponenta.

Wyniki pomiarów odnoszą się wyłącznie do przedstawionych w sprawozdaniu punktów / pionów pomiarowych.

Informacje przekazane przez klienta wpływają na ważność wyników badań.

W obszarze pomiarowym nie stwierdzono obecności instalacji urządzeń obcych operatorów.



UWAGA: Nie wszystkie punkty / piony pomiarowe zostały wskazane na powyższej mapie

LEGENDA:

- ⊙ – Punkty (piony) pomiarowe
- ⊙ – Lokalizacja źródła pola-EM



Użytkownik: P4 Sp. z o.o. 02-677 Warszawa, ul. Wyzalek 1	Nr stacji: OP01028_F	Skala: 1:2000
Nazwa rysunku: Rozmieszczenie pionów pomiarowych		
Nr sprawozdania: 204/2026/OS/04		
LABORATORIUM BADAWCZE SOLDI ul. Bieżanowska 22, 30-812 Kraków	Opracował: Laboratorium Badawcze Soldi	Nr rysunku: 01

6. Podsumowanie wyników badania

Minimalne dopuszczalne poziomy elektromagnetycznego promieniowania niejonizującego charakteryzowane przez wartości graniczne wielkości fizycznych dla miejsc dostępnych dla ludności, uwzględniające wszystkie źródła promieniowania mogące występować w obszarze pomiarowym, w zakresie pomiarowym zestawu pomiarowego, opisanego w punkcie 2 niniejszego sprawozdania, zgodnie z rozporządzeniem Ministra Zdrowia z dnia 17 grudnia 2019 r. w sprawie dopuszczalnych poziomów pól elektromagnetycznych w środowisku (Dz. U. 2019 poz. 2448), które zostały przyjęte do obliczeń wskaźników WM_E i WM_H wynoszą odpowiednio:

Tabela nr 5

Zakres częstotliwości	Natężenie pola - E	Natężenie pola - H
600 MHz – 300 GHz	34 V/m	0,091 A/m

Przeprowadzone badania zostały wykonane przy użyciu miernika szerokopasmowego i nie wykazały przekroczenia 70% ww. wartości dopuszczalnych. W wyniku przeprowadzonego badania potwierdzono także, że otrzymane wartości wskaźnikowe dla wszystkich punktów / pionów pomiarowych badanej instalacji radiokomunikacyjnej, nie przekroczyły wartości 1. Zatem poziomy pól elektromagnetycznych w badanych punktach są dopuszczalne.

Stwierdzenie zgodności zostało przedstawione na podstawie wyników badań oraz informacji uzyskanych od klienta (za które Laboratorium nie ponosi odpowiedzialności) dla instalacji opisanej w punkcie 4.

Stwierdzenia zgodności dokonano na podstawie zasady podejmowania decyzji i wymagań zawartych w załączniku do rozporządzenia Ministra Klimatu z dnia 17 lutego 2020 r. w sprawie sposobów sprawdzania dotrzymania dopuszczalnych poziomów pól elektromagnetycznych w środowisku (Dz. U. 2022 poz. 2630).

Tabela nr 6

Badanie wykonał:	Sprawozdanie sporządził:	Sprawdził:
██████████	██████████	24.04.2026 r. ██████████

KONIEC SPRAWOZDANIA